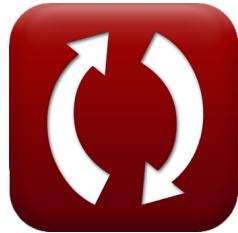


calculatoratoz.comunitsconverters.com

Perte due au raccourcissement élastique Formules

[calculatrices !](#)[Exemples!](#)[conversions !](#)

Signet calculatoratoz.com, unitsconverters.com

Couverture la plus large des calculatrices et croissantes - **30 000+ calculatrices !**

Calculer avec une unité différente pour chaque variable - **Dans la conversion d'unité intégrée !**

La plus large collection de mesures et d'unités - **250+ Mesures !**

N'hésitez pas à PARTAGER ce document avec vos amis !

[Veuillez laisser vos commentaires ici...](#)



Liste de 22 Perte due au raccourcissement élastique Formules

Perte due au raccourcissement élastique ↗

Membres post-tendus ↗

1) Changement d'excentricité du tendon A dû à la forme parabolique ↗

$$fx \Delta e_A = e_{A2} - e_{A1}$$

[Ouvrir la calculatrice ↗](#)

$$ex 9.981\text{mm} = 20.001\text{mm} - 10.02\text{mm}$$

2) Changement d'excentricité du tendon B en raison de la forme parabolique ↗

$$fx \Delta e_B = e_{B2} - e_{B1}$$

[Ouvrir la calculatrice ↗](#)

$$ex 10.07\text{mm} = 20.1\text{mm} - 10.03\text{mm}$$

3) Chute de précontrainte ↗

$$fx \Delta f_p = E_s \cdot \Delta \varepsilon_p$$

[Ouvrir la calculatrice ↗](#)

$$ex 10\text{MPa} = 200000\text{MPa} \cdot 0.00005$$

4) Chute de précontrainte compte tenu de la déformation due à la flexion et à la compression dans deux tendons paraboliques ↗

$$fx \Delta f_p = E_s \cdot (\varepsilon_{c1} + \varepsilon_{c2})$$

[Ouvrir la calculatrice ↗](#)

$$ex 106000\text{MPa} = 200000\text{MPa} \cdot (0.5 + 0.03)$$



5) Chute de précontrainte donnée Rapport modulaire ↗

fx $\Delta f_p = m_{Elastic} \cdot f_{concrete}$

Ouvrir la calculatrice ↗

ex $9.96 \text{ MPa} = 0.6 \cdot 16.6 \text{ MPa}$

6) Chute de précontrainte en fonction de la contrainte dans le béton au même niveau due à la force de précontrainte ↗

fx $\Delta f_p = E_s \cdot \frac{f_{concrete}}{E_{concrete}}$

Ouvrir la calculatrice ↗

ex $33200 \text{ MPa} = 200000 \text{ MPa} \cdot \frac{16.6 \text{ MPa}}{100 \text{ MPa}}$

7) Chute de précontrainte lorsque deux tendons paraboliques sont incorporés ↗

fx $\Delta f_p = E_s \cdot \varepsilon_c$

Ouvrir la calculatrice ↗

ex $9000 \text{ MPa} = 200000 \text{ MPa} \cdot 0.045$

8) Composante de la déformation au niveau du premier tendon due à la flexion ↗

fx $\varepsilon_{c2} = \frac{\Delta L}{L}$

Ouvrir la calculatrice ↗

ex $0.029412 = \frac{0.3 \text{ m}}{10.2 \text{ m}}$



9) Contrainte dans le béton compte tenu de la chute de précontrainte ↗

fx $f_{\text{concrete}} = \frac{\Delta f_p}{m_{\text{Elastic}}}$

[Ouvrir la calculatrice ↗](#)

ex $16.66667 \text{ MPa} = \frac{10 \text{ MPa}}{0.6}$

10) Stress moyen pour les tendons paraboliques ↗

fx $f_{c,\text{avg}} = f_{c1} + \frac{2}{3} \cdot (f_{c2} - f_{c1})$

[Ouvrir la calculatrice ↗](#)

ex $10.202 \text{ MPa} = 10.006 \text{ MPa} + \frac{2}{3} \cdot (10.3 \text{ MPa} - 10.006 \text{ MPa})$

11) Superficie de la section en béton compte tenu de la chute de précontrainte ↗

fx $A_c = m_{\text{Elastic}} \cdot \frac{P_B}{\Delta f_p}$

[Ouvrir la calculatrice ↗](#)

ex $12 \text{ m}^2 = 0.6 \cdot \frac{200 \text{ kN}}{10 \text{ MPa}}$

12) Variation de l'excentricité du tendon B ↗

fx $E_{B(x)} = e_{B1} + \left(4 \cdot \Delta e_B \cdot \frac{x}{L} \right) \cdot \left(1 - \left(\frac{x}{L} \right) \right)$

[Ouvrir la calculatrice ↗](#)

ex

$10.10914 \text{ mm} = 10.03 \text{ mm} + \left(4 \cdot 20.0 \text{ mm} \cdot \frac{10.1 \text{ mm}}{10.2 \text{ m}} \right) \cdot \left(1 - \left(\frac{10.1 \text{ mm}}{10.2 \text{ m}} \right) \right)$



13) Variation de l'excentricité sur le tendon A ↗

fx $E_{A(x)} = e_{A1} + \left(4 \cdot \Delta e_A \cdot \frac{x}{L} \right) \cdot \left(1 - \left(\frac{x}{L} \right) \right)$

Ouvrir la calculatrice ↗

ex

$$10.05957\text{mm} = 10.02\text{mm} + \left(4 \cdot 10.0\text{mm} \cdot \frac{10.1\text{mm}}{10.2\text{m}} \right) \cdot \left(1 - \left(\frac{10.1\text{mm}}{10.2\text{m}} \right) \right)$$

Membres précontraints ↗

14) Chute de précontrainte donnée Force de précontrainte initiale ↗

fx $\Delta f_{Drop} = P_i \cdot \frac{m_{Elastic}}{A_{Pre tension}}$

Ouvrir la calculatrice ↗

ex $0.01044\text{MPa} = 435\text{kN} \cdot \frac{0.6}{0.025\text{mm}^2}$

15) Chute de précontrainte donnée Pression après perte immédiate ↗

fx $\Delta f_{Drop} = \left(\frac{P_o}{A_{Pre tension}} \right) \cdot m_{Elastic}$

Ouvrir la calculatrice ↗

ex $0.0048\text{MPa} = \left(\frac{96000\text{kN}}{12\text{mm}^2} \right) \cdot 0.6$

16) Déformation dans le béton due au raccourcissement élastique ↗

fx $\varepsilon_c = \varepsilon_{pi} - \varepsilon_{po}$

Ouvrir la calculatrice ↗

ex $0.045 = 0.05 - 0.005$



17) Déformation initiale dans l'acier pour une déformation connue due au raccourcissement élastique

fx $\varepsilon_{pi} = \varepsilon_c + \varepsilon_{po}$

Ouvrir la calculatrice 

ex $0.05 = 0.045 + 0.005$

18) Déformation résiduelle dans l'acier pour une déformation connue due au raccourcissement élastique

fx $\varepsilon_{po} = \varepsilon_{pi} - \varepsilon_c$

Ouvrir la calculatrice 

ex $0.005 = 0.05 - 0.045$

19) Force de précontrainte après perte immédiate compte tenu de la précontrainte initiale

fx $P_o = P_i \cdot \frac{A_{Pre\ tension}}{A_{Pretension}}$

Ouvrir la calculatrice 

ex $208800kN = 435kN \cdot \frac{12mm^2}{0.025mm^2}$

20) Précontrainte initiale donnée en précontrainte après perte immédiate

fx $P_i = P_o \cdot \frac{A_{Pretension}}{A_{Pre\ tension}}$

Ouvrir la calculatrice 

ex $200kN = 96000kN \cdot \frac{0.025mm^2}{12mm^2}$



21) Ratio modulaire donné Précontrainte après Perte Immédiate ↗

fx $m_{Elastic} = \Delta f_{Drop} \cdot \frac{A_{Pre tension}}{P_o}$

Ouvrir la calculatrice ↗

ex $2.5 = 0.02 \text{ MPa} \cdot \frac{12 \text{ mm}^2}{96000 \text{ kN}}$

22) Zone transformée du membre de précontrainte pour perte de charge connue ↗

fx $A_{Pretension} = m_{Elastic} \cdot \frac{P_i}{\Delta f_{Drop}}$

Ouvrir la calculatrice ↗

ex $0.01305 \text{ mm}^2 = 0.6 \cdot \frac{435 \text{ kN}}{0.02 \text{ MPa}}$



Variables utilisées

- **A_C** Zone occupée en béton (*Mètre carré*)
- **A_{Pre tension}** Zone de béton précontrainte (*Millimètre carré*)
- **A_{Pretension}** Zone de précontrainte de la section transformée (*Millimètre carré*)
- **E_{A(x)}** Variation d'excentricité du tendon A (*Millimètre*)
- **e_{A1}** Excentricité à la fin pour A (*Millimètre*)
- **e_{A2}** Excentricité à mi-portée pour A (*Millimètre*)
- **E_{B(x)}** Variation d'excentricité du tendon B (*Millimètre*)
- **e_{B1}** Excentricité à la fin pour B (*Millimètre*)
- **e_{B2}** Excentricité au niveau de la travée B (*Millimètre*)
- **E_{concrete}** Module d'élasticité du béton (*Mégapascal*)
- **E_s** Module d'élasticité des armatures en acier (*Mégapascal*)
- **f_{c,avg}** Stress moyen (*Mégapascal*)
- **f_{c1}** Stress à la fin (*Mégapascal*)
- **f_{c2}** Contrainte à mi-portée (*Mégapascal*)
- **f_{concrete}** Contrainte dans la section de béton (*Mégapascal*)
- **L** Longueur de poutre en précontrainte (*Mètre*)
- **m_{Elastic}** Rapport modulaire pour le raccourcissement élastique
- **P_B** Force de précontrainte (*Kilonewton*)
- **P_i** Force de précontrainte initiale (*Kilonewton*)
- **P_o** Force de précontrainte après perte (*Kilonewton*)
- **x** Distance de l'extrémité gauche (*Millimètre*)
- **Δe_A** Changement d'excentricité en A (*Millimètre*)



- Δe_B Changement d'excentricité B (Millimètre)
- Δf_{Drop} Baisse de précontrainte (Mégapascal)
- Δf_p Chute de précontrainte (Mégapascal)
- ΔL Modification de la dimension de longueur (Mètre)
- $\Delta \epsilon_p$ Changement de contrainte
- ϵ_c Déformation du béton
- ϵ_{c1} Déformation due à la compression
- ϵ_{c2} Déformation due à la flexion
- ϵ_{pi} Souche initiale
- ϵ_{po} Souche résiduelle



Constantes, Fonctions, Mesures utilisées

- **La mesure: Longueur** in Millimètre (mm), Mètre (m)
Longueur Conversion d'unité ↗
- **La mesure: Zone** in Mètre carré (m²), Millimètre carré (mm²)
Zone Conversion d'unité ↗
- **La mesure: Pression** in Mégapascal (MPa)
Pression Conversion d'unité ↗
- **La mesure: Force** in Kilonewton (kN)
Force Conversion d'unité ↗



Vérifier d'autres listes de formules

- Perte due au glissement d'ancrage, à la perte par frottement et aux propriétés géométriques générales
Formules ↗
- Perte due au raccourcissement élastique Formules ↗

N'hésitez pas à PARTAGER ce document avec vos amis !

PDF Disponible en

[English](#) [Spanish](#) [French](#) [German](#) [Russian](#) [Italian](#) [Portuguese](#) [Polish](#) [Dutch](#)

12/14/2023 | 8:44:20 AM UTC

[Veuillez laisser vos commentaires ici...](#)

